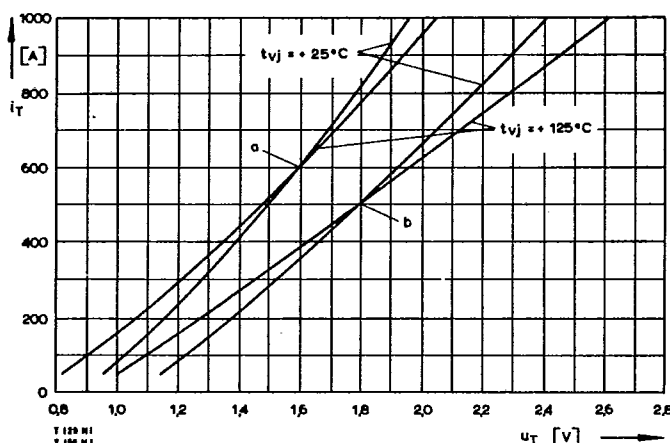


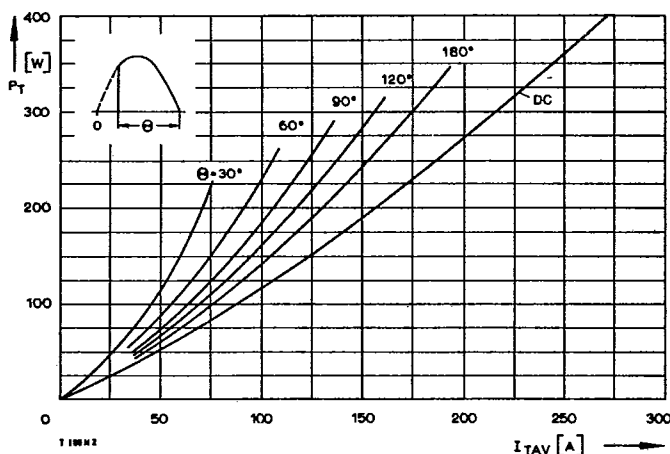
T130 N

Type range	T130 N	400*	600	800	1000	1100	1200	1400	1600	1800*
Elektrische Eigenschaften	Electrical properties									
Höchstzulässige Werte	Maximum permissible values									
U_{DRM} , U_{RRM} Periodische Vorwärts- und Rückwärts-Spitzenspannung	repetitive peak forward off-state and reverse voltages								400...1800	V
I_{TRMSM} Effektiver Durchlaßstrom	RMS on-state current								300	A
I_{TAVM} Dauergrenzstrom	average on-state current	$t_c = 85^\circ C$							130	A
I_{TRM} Periodischer Spitzenstrom	repetitive peak on-state current	$t_c = 56^\circ C$							190	A
I_{TSM} Stoßstrom-Grenzwert	surge current	$t = 10 \text{ ms}, t_v = 45^\circ C$							1800	A
$\int I^2 dt$ Grenzlastintegral	$\int I^2 dt$ -value	$t = 10 \text{ ms}, t_v = 125^\circ C$							3500	A
$(di/dt)_{cr}$ Kritische Stromsteilheit	critical rate of rise of on-state current	$t = 10 \text{ ms}, t_v = 45^\circ C$							3000	A
$(di/dt)_{cr}$ Kritische Spannungssteilheit	critical rate of rise of off-state voltage	$t = 10 \text{ ms}, t_v = 125^\circ C$							61000	$A^2 s$
		nicht periodisch/non repetitive							45000	$A^2 s$
		Dauerbetrieb/continuous operation, $I_{TM} = 600 \text{ A}$							800	$A/\mu s$
		Steuergenerator/pulse generator: $U_L = 10 \text{ V}, I_G = 0,75 \text{ A}, di_G/dt = 0,75 \text{ A}/\mu s$							150	$A/\mu s$
		$U_D = 67\% U_{DRM}$								
		5. Kennbuchstabe/5th letter C							400	$V/\mu s$
		5. Kennbuchstabe/5th letter F							1000	$V/\mu s$
Charakteristische Werte	Characteristic values									
U_T Obere Durchlaßspannung	max. on-state voltage	$t_v = 25^\circ C, I_T = 600 \text{ A}$							1,93	V
$U_{(TO)}$ Schleusenspannung	threshold voltage	$t_v = 125^\circ C$							1,08	V
r_T Ersatzwiderstand	slope resistance	$t_v = 125^\circ C$							1,53	$\text{m}\Omega$
U_{GT} Obere Zündspannung	max. gate trigger voltage	$t_v = 25^\circ C, U_D = 6 \text{ V}, R_A = 5 \Omega$							1,4	V
I_{GT} Oberer Zündstrom	max. gate trigger current	$t_v = 25^\circ C, U_D = 6 \text{ V}, R_A = 5 \Omega$							150	mA
Unterer Zündstrom	min. gate trigger current	$t_v = 125^\circ C, U_D = 6 \text{ V}, R_A = 5 \Omega$							5	mA
I_H Oberer Haltestrom	max. holding current	$t_v = 25^\circ C, U_D = 6 \text{ V}, R_A = 5 \Omega$							200	mA
I_L Oberer Einraststrom	max. latching current	$t_v = 25^\circ C, U_D = 6 \text{ V}, R_{GK} \geq 10 \Omega$							620	mA
		Steuergenerator/pulse generator: $I_G = 0,75 \text{ A}, di_G/dt = 0,75 \text{ A}/\mu s, t_g = 20 \mu s$								
I_D, I_R Oberer Vorwärts- und Rückwärts-Sperrstrom	max. forward off-state and reverse currents	$t_v = 125^\circ C, U_D = U_{DRM} (U_R = U_{RRM})$							30	mA
t_{gd} Oberer Zündverzug	max. gate controlled delay time								4,5	μs
t_q Typische Freiwerdezeit	typical turn-off time								180	μs
C_{null} Typische Nullkapazität	typical zero capacitance								3	nF
Thermische Eigenschaften	Thermal properties									
R_{thjc} Innerer Wärmewiderstand	thermal resistance, junction to case	$\Theta = 180^\circ \text{el, sinus}$							$\leq 0,2^\circ \text{C/W}$	
	operating temperature	DC							$\leq 0,19^\circ \text{C/W}$	
	storage temperature								-40°C...+125°C	
									-40°C...+150°C	
Mechanische Eigenschaften	Mechanical properties									
G Si-Element mit Druckkontakt	Si-pellet with pressure contact								300	g
F Gewicht	weight								3500	N
M Anpreßkraft	clamping force								20/20/30	Nm
Anzugsdrehmoment	tightening torque								Seite/page 233/234	
Maßbilder	outlines								8	mm
Kriechstrecke	creepage distance									C
Feuchtekategorie	humidity classification									
Schüttelfestigkeit	vibration resistance	DIN 40040							5x9,81 m/s ²	
		$f = 50 \text{ Hz}$								

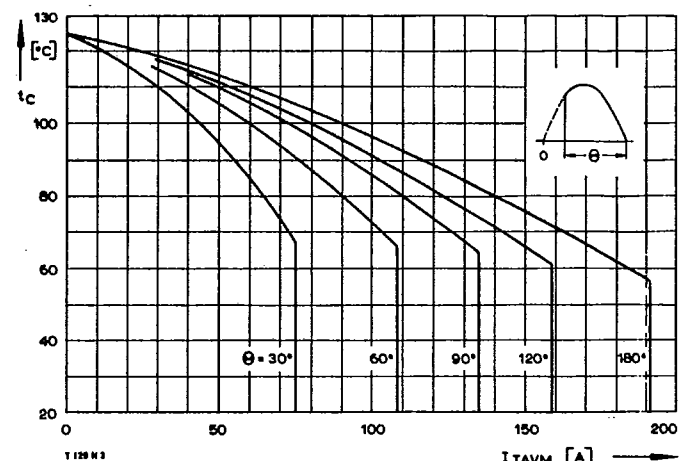
* Für größere Stückzahlen bitte Liefertermin erfragen/Delivery for larger quantities on request



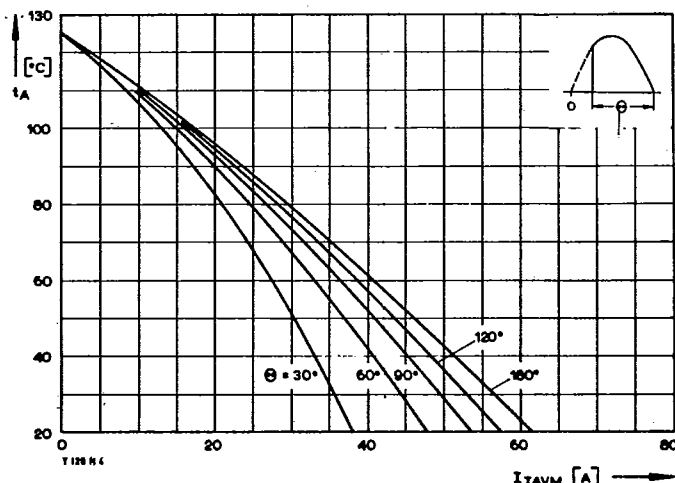
Bild/Fig. 1
Durchlaßkennlinien/On-state characteristics
a – Typische Kennlinien/typical characteristics
b – Grenzkennlinien/limiting characteristics



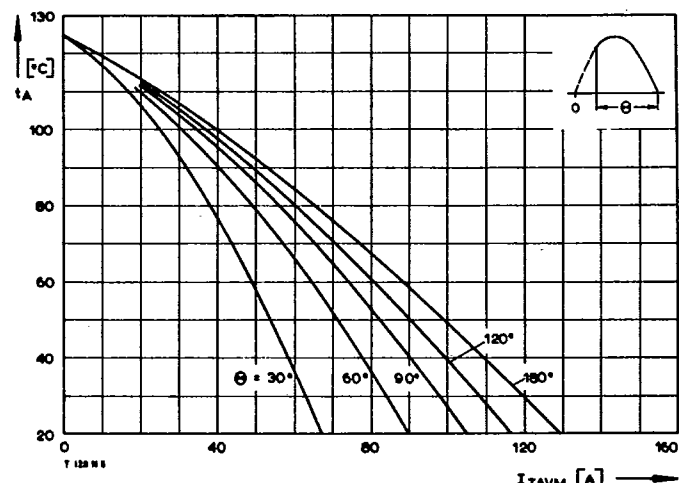
Bild/Fig. 2
Durchlaßverlustleistung P_T /On-state power loss P_T
Parameter: Stromflußwinkel Θ /current conduction angle Θ



Bild/Fig. 3
Höchstzulässige Gehäusetemperatur t_c
Maximum allowable case temperature t_c

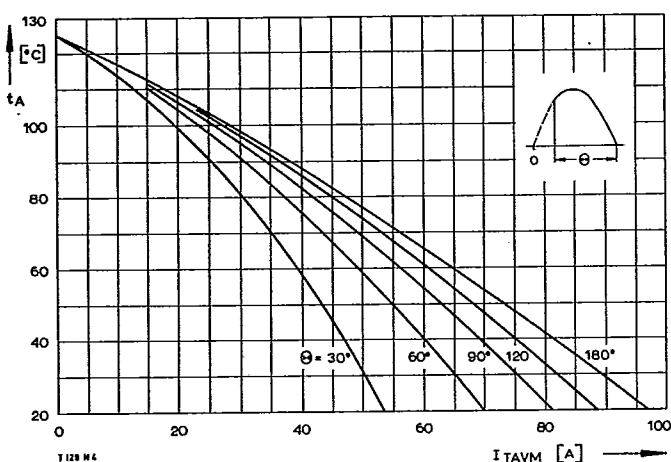


Bild/Fig. 4
Höchstzulässige Kühlmittelttemperatur t_A bei Luftselbstkühlung,
Kühlkörper KL 42
Maximum allowable cooling medium temperature t_A at natural cooling,
heatsink type KL 42

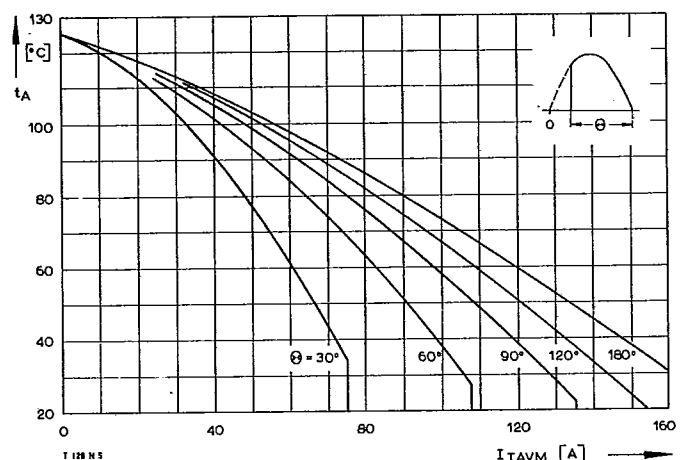


Bild/Fig. 5
Höchstzulässige Kühlmittelttemperatur t_A bei verstärkter Luftkühlung,
Kühlkörper KL 42
Maximum allowable cooling medium temperature t_A at forced cooling,
heatsink type KL 42

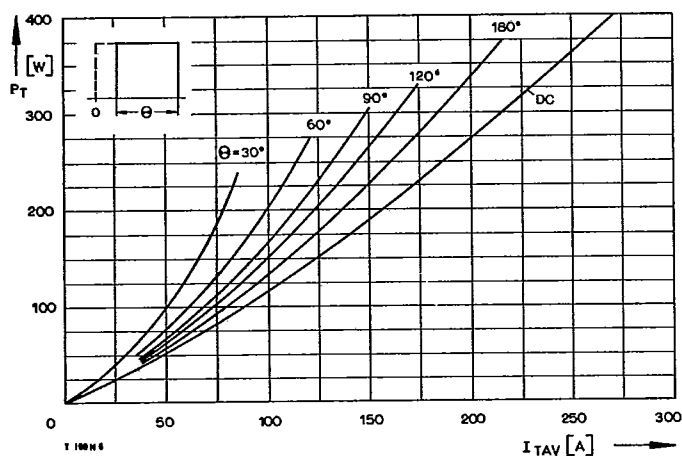
T130 N



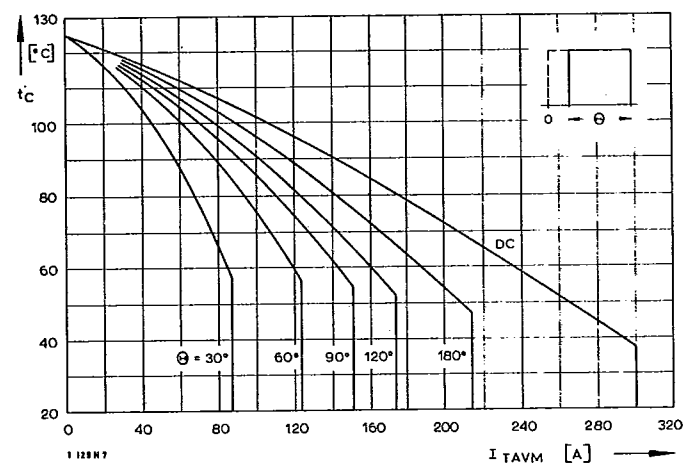
Bild/Fig. 6
Höchstzulässige Kühlmitteltemperatur t_A bei **Luftselbstkühlung**,
Kühlkörper KL 91
Maximum allowable cooling medium temperature t_A at **natural cooling**,
heatsink type KL 91



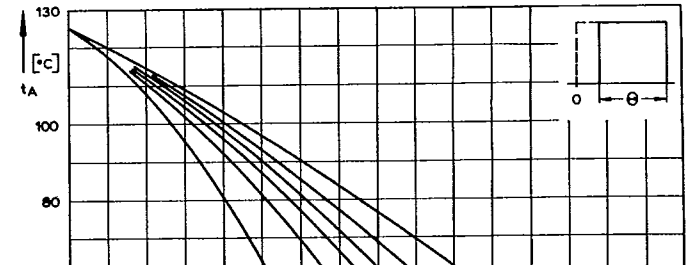
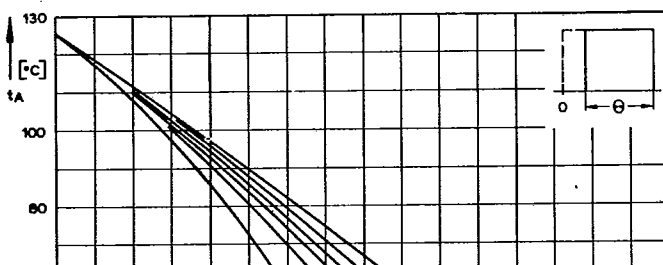
Bild/Fig. 7
Höchstzulässige Kühlmitteltemperatur t_A bei **verstärkter Luftkühlung**,
Kühlkörper KL 91
Maximum allowable cooling medium temperature t_A at **forced cooling**,
heatsink type KL 91



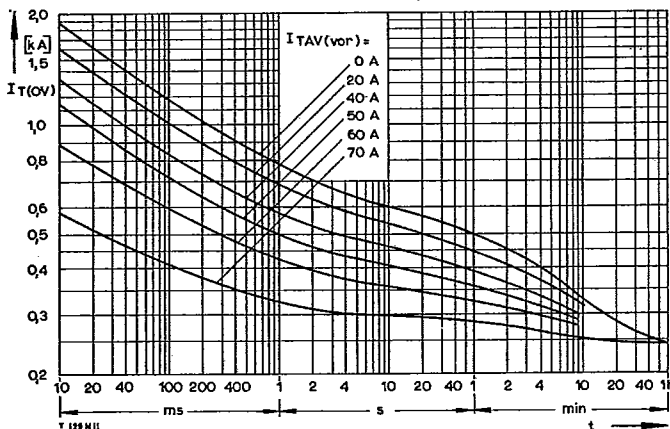
Bild/Fig. 8
Durchlaßverlustleistung P_T /On-state power loss P_T
Parameter: Stromflußwinkel Θ /current conduction angle Θ



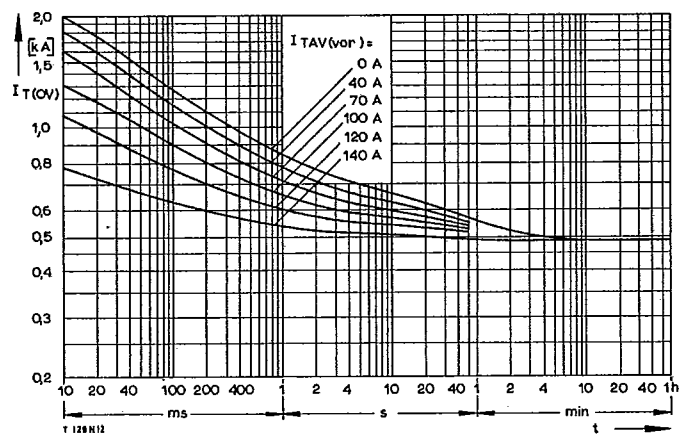
Bild/Fig. 9
Höchstzulässige Gehäusetemperatur t_C
Maximum allowable case temperature t_C



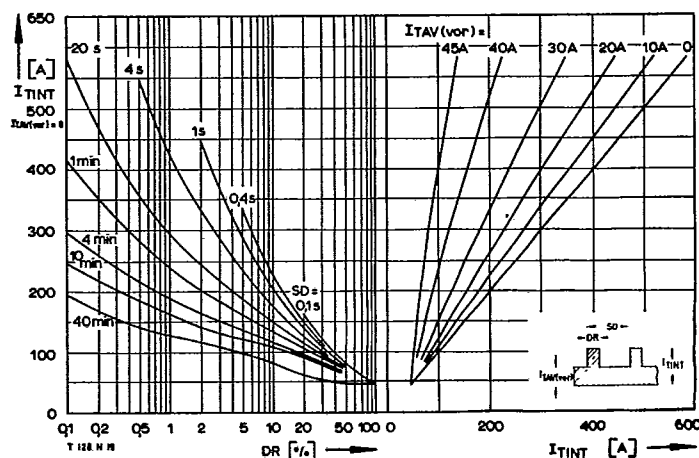
T 130 N



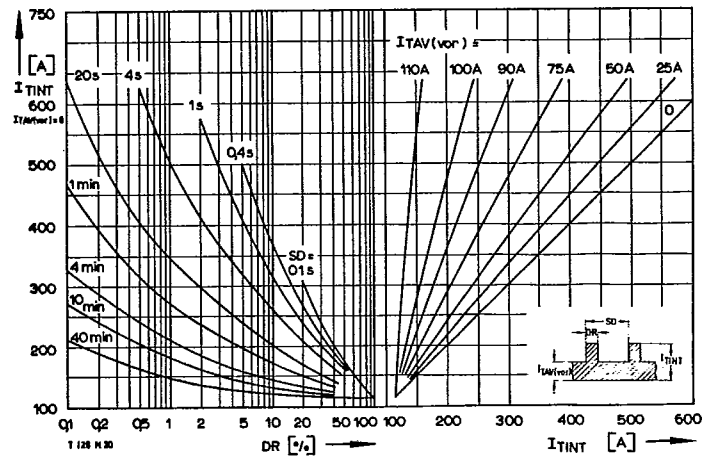
Bild/Fig. 17
Überstrom $I_{T(OV)}$ bei Luftselbstkühlung, $t_A = 45^\circ\text{C}$, Kühlkörper KL 91
Overload on-state current $I_{T(OV)}$ at natural cooling, $t_A = 45^\circ\text{C}$,
heatsink type KL 91
Parameter: Vorlaststrom/pre-load current $I_{TAV(vor)}$



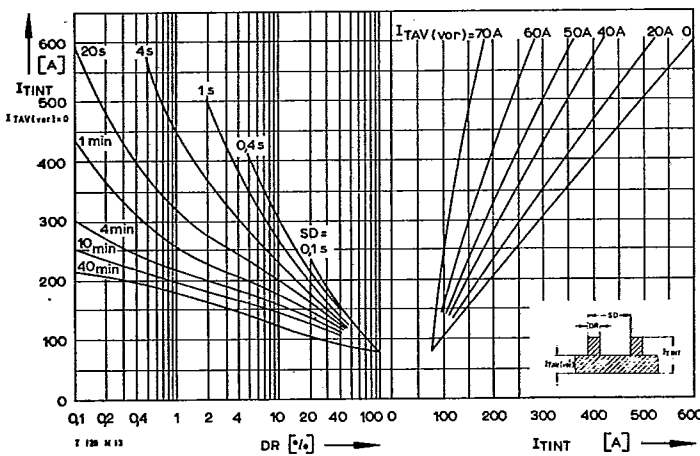
Bild/Fig. 18
Überstrom $I_{T(OV)}$ bei verstärkter Luftkühlung, $t_A = 35^\circ\text{C}$, Kühlkörper KL 91
Overload on-state current $I_{T(OV)}$ at forced cooling, $t_A = 35^\circ\text{C}$,
heatsink type KL 91
Parameter: Vorlaststrom/pre-load current $I_{TAV(vor)}$



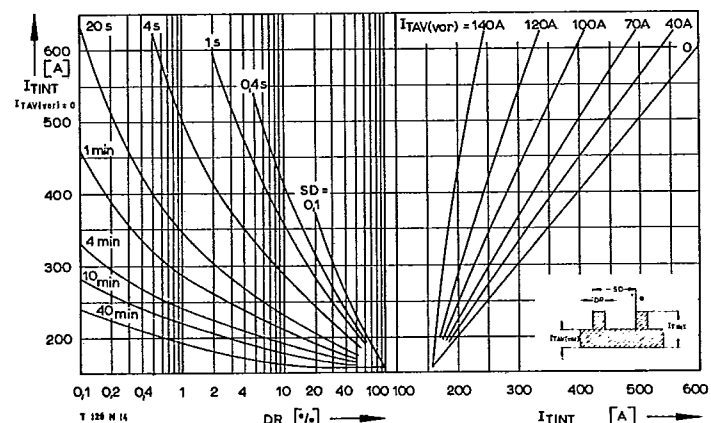
Bild/Fig. 19
Höchstzulässiger Durchlaßstrom I_{TINT} bei Aussetzbetrieb und Luftselbstkühlung,
 $t_A = 45^\circ\text{C}$, Kühlkörper KL 42
Limiting on-state current I_{TINT} during intermittent operation at natural cooling,
 $t_A = 45^\circ\text{C}$, heatsink type KL 42
Parameter: Spieldauer/cycle duration SD
Vorlaststrom/pre-load current $I_{TAV(vor)}$



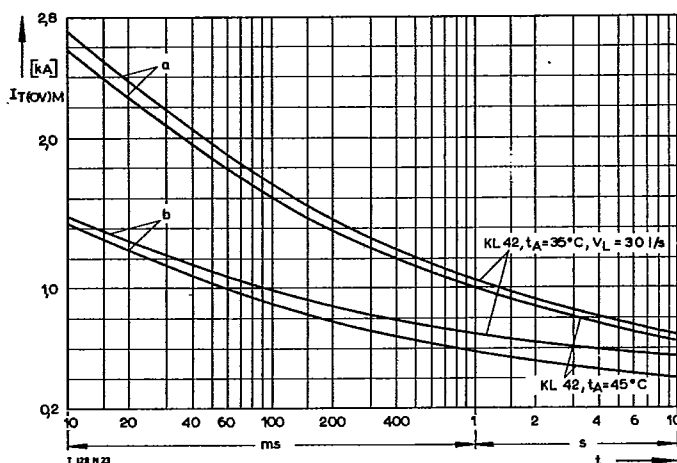
Bild/Fig. 20
Höchstzulässiger Durchlaßstrom I_{TINT} bei Aussetzbetrieb und verstärkter
Luftkühlung, $t_A = 35^\circ\text{C}$, Kühlkörper KL 42
Limiting on-state current I_{TINT} during intermittent operation at forced cooling,
 $t_A = 35^\circ\text{C}$, heatsink type KL 42
Parameter: Spieldauer/cycle duration SD
Vorlaststrom/pre-load current $I_{TAV(vor)}$



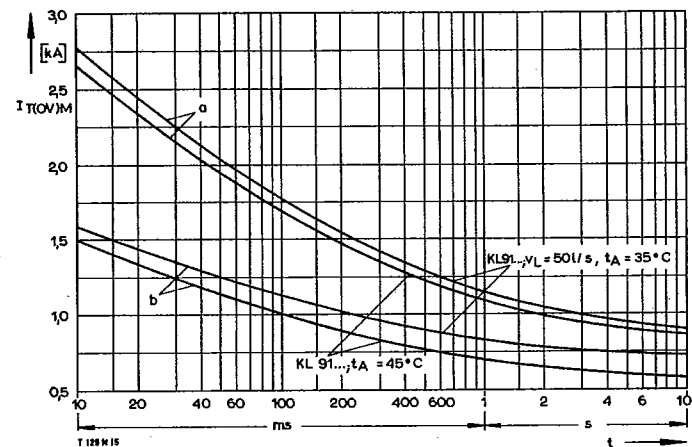
Bild/Fig. 21
Höchstzulässiger Durchlaßstrom I_{TINT} bei Aussetzbetrieb und Luftselbstkühlung,
 $t_A = 45^\circ\text{C}$, Kühlkörper KL 91
Limiting on-state current I_{TINT} during intermittent operation at natural cooling,
 $t_A = 45^\circ\text{C}$, heatsink type KL 91
Parameter: Spieldauer/cycle duration SD
Vorlaststrom/pre-load current $I_{TAV(vor)}$



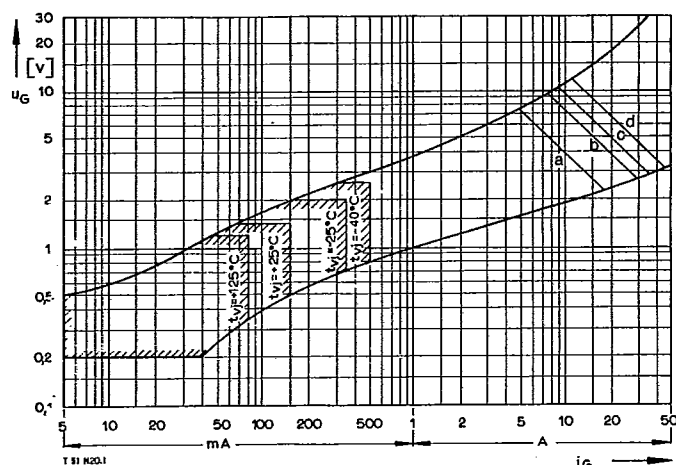
Bild/Fig. 22
Höchstzulässiger Durchlaßstrom I_{TINT} bei Aussetzbetrieb und verstärkter
Luftkühlung, $t_A = 35^\circ\text{C}$, Kühlkörper KL 91
Limiting on-state current I_{TINT} during intermittent operation at forced cooling,
 $t_A = 35^\circ\text{C}$, heatsink type KL 91
Parameter: Spieldauer/cycle duration SD
Vorlaststrom/pre-load current $I_{TAV(vor)}$



Bild/Fig. 23
Grenzstrom $I_{TOV}M$ bei Luftselbstkühlung und verstärkter Kühlung,
Kühlkörper KL 42..., $U_{RM} = 0.8 U_{RRM}$.
Limiting overload on-state current $I_{TOV}M$ at natural and forced cooling,
heat sink type KL 42..., $U_{RM} = 0.8 U_{RRM}$.
a – Belastung aus Leerlauf/current under no-load conditions
b – Belastung im Anschluß an Betrieb mit Dauergrenzstrom I_{TAVM} /
current surge occurs during operation at limiting mean on-state current
rating I_{TAVM}

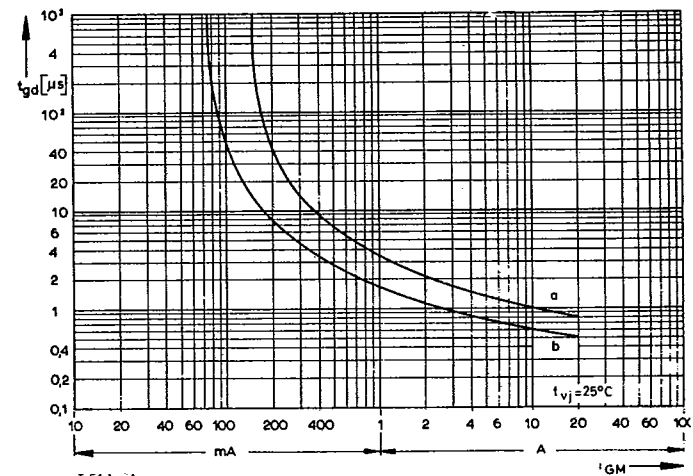


Bild/Fig. 24
Grenzstrom $I_{TOV}M$ bei Luftselbstkühlung und verstärkter Luftkühlung,
Kühlkörper KL 91..., $U_{RM} = 0.8 U_{RRM}$.
Limiting overload on-state current $I_{TOV}M$ at natural and forced cooling,
heat sink type KL 91..., $U_{RM} = 0.8 U_{RRM}$.
a – Belastung aus Leerlauf/current under no-load conditions
b – Belastung nach Betrieb mit Dauergrenzstrom I_{TAVM} /
current surge occurs during operation at limiting mean on-state current
rating I_{TAVM}

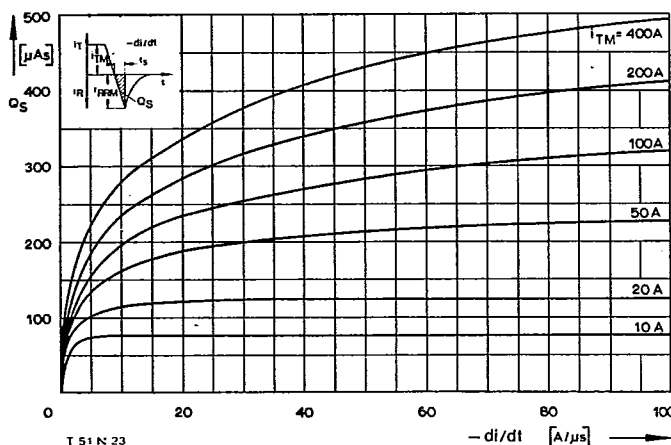


Bild/Fig. 25
Zündbereich und Spitzensteuerleistung bei $U_D \geq 6 \text{ V}$.
Gate characteristic and peak gate power dissipation at $U_D \geq 6 \text{ V}$.
Parameter:

	a	b	c	d	
Steuerimpulsdauer/Pulse duration t_g	[ms]	10	1	0,5	0,1
Höchstzulässige Spitzensteuerleistung/ Maximum allowable peak gate power	[W]	40	80	100	150



Bild/Fig. 26
Zündverzug t_{gd} bei $I_F = 50 \text{ A}$, $t_{vj} = 25^\circ C$.
Gate controlled delay time t_{gd} at $I_F = 50 \text{ A}$, $t_{vj} = 25^\circ C$.
a – äußerster Verlauf/limiting characteristic
b – typischer Verlauf/typical characteristic



Bild/Fig. 27
Nachlaufladung Q_S in Abhängigkeit von der abkommunizierenden Stromteilheit
- di/dt bei $t_{vj} = 125^\circ C$.
Der angegebene Verlauf wird von 90% aller Thyristoren nicht überschritten.
Lag charge Q_S versus the rate of decay of the forward on-state current
- di/dt at $t_{vj} = 125^\circ C$.
These curves are valid for 90% of all thyristors.

T160 N

Type Range	T160 N	400*	600	800	1000	1100	1200	1400	1600	1800*
Elektrische Eigenschaften	Electrical properties									
Höchstzulässige Werte	Maximum permissible values									
U_{DRM} , U_{RRM}	Periodische Vorwärts- und Rückwärts-Spitzenperrspannung								400...1800	V
I_{TRMSM}	Effektiver Durchlaßstrom								300	A
I_{TAVM}	Dauergrenzstrom								160	A
I_{TM}	Periodischer Spitzenstrom								190	A
I_{TSM}	Stoßstrom-Grenzwert								1800	A
$\int i^2 dt$	Grenzlastintegral								3800	A
$(di/dt)_{cr}$	Kritische Stromsteilheit								3400	A
$(du/dt)_{cr}$	Kritische Spannungssteilheit								72000	A ² s
									58000	A ² s
									800	A/ μ s
									150	A/ μ s
Charakteristische Werte	Characteristic values									
U_T	Obere Durchlaßspannung								1,93	V
$U_{(TO)}$	Schleusenspannung								1,08	V
r_T	Ersatzwiderstand								1,53	m Ω
U_{GT}	Obere Zündspannung									
I_{GT}	Oberer Zündstrom									
	Unterer Zündstrom									
I_H	Oberer Haltestrom								150	mA
I_L	Oberer Einraststrom								5	mA
									200	mA
									620	mA
i_D, i_R	Oberer Vorwärts- und Rückwärts-Sperrstrom								30	mA
t_{gd}	Oberer Zündverzug								4,5	μ s
t_q	Typische Freiwerdezeit								200	μ s
C_{null}	Typische Nullkapazität								3	nF
Thermische Eigenschaften	Thermal properties									
R_{thJC}	Innerer Wärmewiderstand								$\leq 0,15^\circ\text{C}/\text{W}$	
	Betriebstemperatur								$\leq 0,14^\circ\text{C}/\text{W}$	
	Lagertemperatur								-40°C...+125°C	
									-40°C...+150°C	
Mechanische Eigenschaften	Mechanical properties									
G	Si-Element mit Druckkontakt								300	g
F	Gewicht								3500	N
M	Anpreßkraft								20/20/30	Nm
	Anzugsdrehmoment									
	Maßbilder								Seite/page 233/234	
	Kriechstrecke								8	mm
	Feuchtekategorie									
	Schüttelfestigkeit									C
									5x9,81	m/s^2

* Für größere Stückzahlen bitte Liefertermin erfragen/Delivery for larger quantities on request